

积, 槽形空心阴极的激活区为阴极位降区和负辉区, 这里存在较多的高能电子可使氦原子电离. 为了增加阴极物质的溅射, 在氦气中加入少量的氖或氩. 图 3 为氦氩混合气体下的激光功率与平均放电电流的关系, 最佳气压(在氦:氩为 20 比 1 时)为 15.8 托. 图 4 为氦氖混合气体的结果, 15 比 1 时最佳气压为 18.4 托.

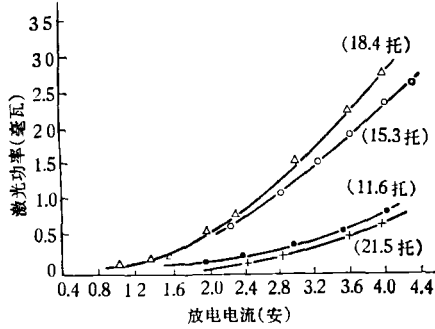


图 4 氦氖混合时激光功率与电流的关系

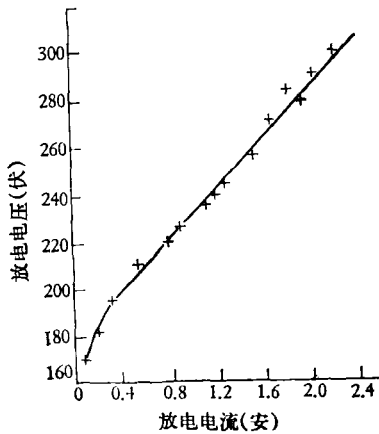


图 5

图 5 为槽形空心阴极的伏安特性, 用反常辉光放电理论可求得伏安特性为

$$\frac{j}{p^2} = \frac{(1 + \gamma)k_+}{4\pi} \cdot \frac{V_R^{3/2}}{(pd_k)^{5/2}}, \quad (2)$$

式中 j 为放电电流密度, p 为气压, V_R 为阴极位降, d_k 为阴极位降区厚度, k_+ 为离子迁移率, γ 为阴极在正离子轰击下发射系数. 若 $k_+ = 4.1 \times 10^4 \frac{\text{厘米}^3/2 \cdot \text{托}^{1/2}}{\text{伏}^{1/2} \cdot \text{秒}}$, $\gamma = 0.2$, $p = 16$ 托, 槽内壁面积为 70 厘米^2 , 则可得 $d_k = 0.53$ 毫米, 与实际情况符合. (2) 式表示了 d_k 所满足的相似关系, 当气压升高时, d_k 减小. 在气压较低时, $d_k \geq d/2$, d 为槽宽, 这时槽宽容纳不下阴极位降区, 放电不能进入槽内, 激光难以产生. 在较高气压时, $2d_k + L < d$, L 为负辉区长度^[3], 这时槽中部出现法拉第暗区, 这个暗区的低能电子使激光作用停止. 这就说明了该激光器存在最佳气压.

交流放电铜离子激光使电源大大简化, 可直接使用 220 伏或 380 伏低压交流市电.

本研究工作曾得到上海光学精密机械研究所陈建文同志的协助, 在此表示感谢.

参 考 文 献

- [1] B. E. Warner et al., *IEEE J. Quant. Elec.*, **14** (1978), 568.
- [2] N V Subotimiv et al., *Sov. Jour. Quant. Elec.*, **4**(1977), 918.
- [3] K. B. Feresson, *J. Appl. Phys.*, **36**(1965), 3086.

不稳定腔内会聚波的研究*

张 贵 芬

(中国科学院上海光学精密机械研究所)

众所周知, 求解不稳定腔光线模所满足的本征方程, 得到二个实解. 一个代表发散球面波, 一个代表会聚波. 对该二解的不同看法在文献[1, 2]中已有讨论. 一般处理也都采用发散波解, 但对为什么弃去会聚波没有详细讨论.

本文从光线模的稳定性角度出发, 证明会聚波不是激光腔的稳态模, 发散波是唯一存在的稳态模.

* 1979 年 12 月 5 日收到.

一、理论分析

本文指的稳定性，不是腔分类的稳定性条件，而是指腔模对扰动的稳定性。如果光线模参数，比如不稳定腔模的曲率半径 r ，由于某种扰动，产生了小的偏移量 Δr ，且 $r \gg \Delta r$ 。那么在腔内往返一次后得到一新的偏移量 $\Delta r'$ 。同样可以引入一个稳定性因子 F ，它定义为 $F = \frac{\Delta r'}{\Delta r}$ 。类比于振动理论中稳定平衡点的李亚普诺夫条件，在不稳定腔中要形成稳态模，必须有 $F < 1$ 。对 $F > 1$ 的模不能形成稳态模，因为只要偏离很小量，在腔内往返过程中，偏移量不断增加。

对于对称双凸型不稳定腔，选择一镜面为参考面时，光线往返一次的传输矩阵为

$$\begin{pmatrix} A & B \\ C & D \end{pmatrix} = \begin{pmatrix} 2g-1 & 2gd \\ \frac{4g(g-1)}{d} & 4g^2-2g-1 \end{pmatrix}, \quad (1)$$

式中 $g = 1 - d/R$ ， d 为腔长， R 为镜子曲率半径。对不稳定腔， $g > 1$ 。由 g 因子表示的发散波和会聚波曲率半径为^[3]

$$r_{\#} = \frac{\sqrt{1-g^{-2}} - 1 + g^{-1}}{2(1-g^{-1})}, \quad (2a)$$

$$r_{*} = \frac{-\sqrt{1-g^{-2}} - 1 + g^{-1}}{2(1-g^{-1})}. \quad (2b)$$

它们是光线模本征方程

$$r = \frac{Ar + B}{Cr + D} \quad (3)$$

的解。显然，对产生小偏移量 Δr 的球面波也满足该式，即

$$r + \Delta r' = \frac{A(r + \Delta r) + B}{C(r + \Delta r) + D}.$$

展开此式，利用 $AD - BC = 1$ ，并略去二级小量 $\Delta r \Delta r'$ ，可以得到

$$\frac{\Delta r'}{\Delta r} = \frac{A - Cr}{Cr + D}. \quad (4)$$

对发散波来说，将(1)式中的矩阵元素及(2a)中

的 $r_{\#}$ 代入(4)式，得出

$$F = \frac{\Delta r'}{\Delta r} = \frac{2g^2 - 1 - 2g\sqrt{g^2 - 1}}{2g^2 - 1 + 2g\sqrt{g^2 - 1}} < 1.$$

因此，发散波能在不稳定腔中形成稳态模。

对会聚波，则可得出

$$F = \frac{2g^2 - 1 + 2g\sqrt{g^2 - 1}}{2g^2 - 1 - 2g\sqrt{g^2 - 1}} > 1.$$

因此，会聚波不满足形成稳态模条件，不稳定腔中不能存在会聚波，它仅是空腔的解。

激光器内产生扰动的因素很多，各种工作物质的透镜效应等均属扰动源。不稳定腔中发散波和会聚波很类似数学摆的平衡状态(见图1)，显然数学摆有二个平衡点，一个是在上方，它是不稳定的；一个在下方，它是稳定的平衡状态。

举例来说，双凸腔往返一次放大率 $m = 2g^2 - 1 + 2g\sqrt{g^2 - 1}$ 。对发散波 $F = \Delta r'/\Delta r = 1/m^2$ ，会聚波 $F = \Delta r'/\Delta r = m^2$ 。如果 $m = 3$ ，发散波往返一周后偏移量缩小为原来的 $1/9$ ，而会聚波偏移量则增大 9 倍。



图1 数学摆的平衡态

- (a) 稳定平衡态，相应发散波；
(b) 不稳定平衡态，相应会聚波

二、实验证明

实验证明的一个中心之点在于，如果存在会聚波，则激光器中心部分场强要急剧增加，即

使考虑到介质的饱和效应,会聚波截面以几何级数减小,中心部分场强逐级升高,甚至把工作物质打坏。实际上中心部分不是必然要坏的,在下面几个实验证明会聚波是不存在的:

(1)采用平凸型不稳定腔,前腔板为一块平板,在计算出的共轭点 P' 处放记录纸屏,观察到近似均匀的场分布,中心部分未发现强区,如图2所示。

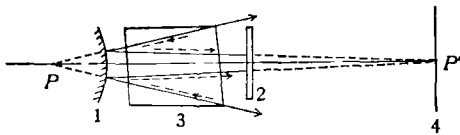


图2 会聚波不存在的验证实验

1 为凸面镜; 2 为平板; 3 为工作物质;
4 为记录黑纸屏; 实线为发散波; 虚线为会聚波

(2)对正分支共焦腔,在腔内插入一块平板,观察到清晰的杨氏干涉条纹,它是由平板二个面反射造成的,条纹强度也是均匀的,形状规则,未见中心部分变强,如图3所示。

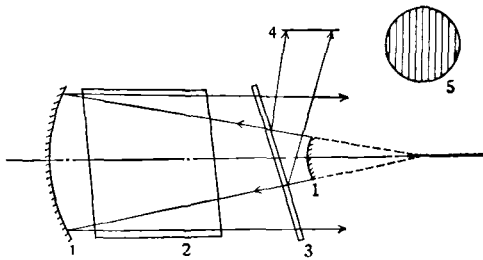


图3 杨氏干涉条纹图

正分支共焦腔

1 为腔镜; 2 为工作物质; 3 为分光板;
4 为记录纸屏; 5 为杨氏干涉图

(3)我们利用图2中工作物质磨斜的端面反射,测量了光能沿截面的分布,如表1所示。

表1 光能沿截面的分布

孔径 (mm)	2	4	6
能量密度 J/mm^2	1.10	1.04	1.02
方向角 (80% 计算)	0.3 mrad	0.4 mrad	0.5 mrad

从测量值可以看出,能量密度基本上均匀。如果会聚波存在,中心部分能量密度要明显高于外部。

(4)为了说明发散波不是由会聚波转化而来,我们在图2所示的凹面镜中心挖出 $\phi 5\text{ mm}$ 孔,从孔向外输出能量密度 $1.2J/mm^2$ 。如果发散波由会聚波转化而来,那么挖孔后全部输出,激光器效率应大大降低,甚至停止振荡,实际上效率只下降20%,仅是一种微扰。这表明发散波是腔的固有模,并不是由会聚波转化而来。

综上所述,高损耗的不稳定腔内会聚波虽是本征方程的解,但由于它对扰动很不稳定,不能形成稳定模,而发散波对扰动稳定,不稳定腔内只存在发散波。这与实验事实完全一致。当然,这是激光器内只存在发散波的一种解释。

参 考 文 献

- [1] A. A. Isacov, *Sov. J. Quant. Elect.*, 4-6 (1974), 761.
- [2] Yu. A. Ananov, *Sov. J. Quant. Elect.*, 5-6 (1975), 615.
- [3] A. E. Siegman, *Proc. IEEE*, 53(1965), 277.